

## بیان و تخلیص DNA پلیمراز Pfu متعلق به خانواده B

زهرا خلیلی بروجنی<sup>۱</sup>, دکتر داریوش عابدی<sup>۲</sup>, مهدی عباسیان<sup>۳</sup>, دکتر محمدرضا مفید<sup>۴</sup>

### مقاله پژوهشی

### چکیده

**مقدمه:** DNA پلیمرازها آنزیم‌هایی هستند که سنتز مولکول DNA را از دتوکسی ریبونوکوتیدها بر عهده دارند. این آنزیم‌ها ابزارهای ضروری در زیست شناسی مولکولی به حساب می‌آیند. DNA پلیمراز Pfu از یک آرکنوباکتری گرمادوست که در رسوبات دریایی با دمای ۹۰–۱۰۰ درجه‌ی سلسیوس زندگی می‌کند، جدا گردیده است. این آنزیم، خصوصیت اگزونوکلئازی<sup>۳</sup> به ۵ دارد که باعث اصلاح خطاهای ناشی از همانندسازی DNA می‌شود.

**روش‌ها:** در این مطالعه، قطعه‌ی کد کننده‌ی ژن DNA پلیمراز pET-15b در ناقل بیانی pET-15b کلون گردید. سپس با تغییر شرایط بیان مانند غلظت (Isopropyl β-D-1-thiogalactopyranoside) IPTG، زمان و دمای القا، بیان این آنزیم بهینه شد. در نهایت در شرایط بهینه، پروتئین در (Polymerase chain reaction) PCR به کار گرفته شد.

**یافته‌ها:** کلونی‌هایی بعد از ترانسفورماسیون پلاسمید نوترکیب ایجاد شد که اکثر آن‌ها حاوی پلاسمید بودند. بیان آنزیم Pfu باندی را در حدود ۹۰ در ژل الکتروفورز SDS-PAGE (Sodium dodecyl sulfate- Polyacrylamide gel electrophoresis) نتیجه داد. بیشترین میزان تولید پروتئین با غلظت ۷/۵ میلی‌مولار ماده‌ی القا کننده‌ی IPTG، دمای ۳۷ درجه‌ی سلسیوس و ۳ ساعت پس از القا مشاهده شد.

**نتیجه‌گیری:** تخلیص پروتئین با به کارگیری روشی جدید بر مبنای پروتکل Desai منجر به ایجاد محصولی شد که در واکنش PCR فعالیتی مشابه با نمونه‌ی تجاری داشت.

**وازگان کلیدی:** DNA پلیمراز وابسته به PCR، کلونینگ، pET-15b، DNA.

**ارجاع:** خلیلی بروجنی زهرا، عابدی داریوش، عباسیان مهدی، مفید محمدرضا. بیان و تخلیص DNA پلیمراز Pfu متعلق به خانواده B. مجله دانشکده پزشکی اصفهان ۱۳۹۲: ۳۱؛ ۱۴۰۴: ۲۵۱.

### مقدمه

واکنش زنجیره‌ای پلیمراز (PCR) یا Polymerase chain reaction به دلیل قابلیت تکثیر مولکول DNA، انقلابی را در علوم زیست شناسی

ایجاد کرد (۱-۲). دسترسی به این روش، به عنوان یکی از قوی‌ترین تکنیک‌های زیست شناسی سلولی و مولکولی منجر به پیشرفت‌های بزرگی در مهندسی ژنتیک، تشخیص بیماری‌های عفونی و تحقیقات

\* این مقاله هامل پایان‌نامه‌ی دوctorate دکترای مرتفعه‌ای داروسازی به شماره‌ی ۳۸۹۳۶۹ در دانشگاه علوم پزشکی اصفهان است.

۱- دانشجوی داروسازی، دانشکده داروسازی و علوم دارویی و کمیته تحقیقات داشگویی، دانشگاه علوم پزشکی اصفهان، اصفهان، ایران

۲- دانشیار، گروه بیوتکنولوژی دارویی، دانشکده داروسازی و علوم دارویی، دانشگاه علوم پزشکی اصفهان، اصفهان، ایران

۳- کارشناس ارشد، گروه بیوتکنولوژی کشاورزی، دانشکده کشاورزی، دانشگاه صنعتی اصفهان، اصفهان، ایران

۴- استادیار، گروه بیوشیمی بالینی و مرکز تحقیقات بیوانفورماتیک، دانشکده داروسازی و علوم دارویی، دانشگاه علوم پزشکی اصفهان، اصفهان، ایران

نویسنده‌ی مسؤول: دکتر محمدرضا مفید Email: mofid@pharm.mui.ac.ir

بیشتری را در سنتز DNA ایجاد می‌کند. *Tth*, *Ultma* و *KOD* نیز از انواع پلیمرازهای مقاوم به حرارت می‌باشند (۱۱-۱۲).

آنزیم *Pfu* یک DNA پلیمراز مقاوم به حرارت با دقت (Fidelity) بالا است که متعلق به خانواده‌ی *B* پلیمرازها می‌باشد (۱۳). این آنزیم ۹۲ کیلو دالتونی که از یک آرکوپاکتری بسیار گرمایی *Pyrococcus furiosus* جدا گردیده است، برای اولین بار در سال ۱۹۹۱ تعیین خصوصیت شد. این آنزیم، دو خصوصیت DNA پلیمرازی<sup>۵</sup> به<sup>۳</sup> و تصحیح کنندگی اگزونوکلئازی<sup>۳</sup> به<sup>۵</sup> را دارا می‌باشد (۱۴). وجود خصوصیت اگزونوکلئازی<sup>۳</sup> به<sup>۵</sup> در این پلیمراز، امکان اصلاح اشتباهات همانندسازی را حین انجام PCR فراهم می‌کند (۱۵). میزان خطای این آنزیم، ۵ برابر کمتر نسبت به دیگر پلیمرازهای با دقت بالا از جمله vent Deep و ۱۰ برابر کمتر نسبت به *Taq* پلیمراز که خاصیت اگزونوکلئازی<sup>۳</sup> به<sup>۵</sup> را ندارد، گزارش شده است (۱۶).

در مطالعات قبل، این آنزیم با کمک سیستم با کولوویروس کلون و بیان گردید که امکان تولید مقادیر زیادی از آنزیم را فراهم می‌کرد، اما از نظر قیمت به صرفه نبود (۱۷). بنابراین، در مطالعات بعد از آن سعی بر تولید این آنزیم در *E.coli* شد که بسیار مقرنون به صرفه‌تر بود (۱۸).

در سال‌های اخیر با پیشرفت فناوری DNA نوترکیب، تا حدود زیادی از منابع میکروبی جهت تولید آنزیم‌ها استفاده گردیده است. با توجه به اهمیت PCR در علوم پزشکی و استفاده از پلیمرازهای مقاوم به حرارت در PCR، به ویژه انواع

بالینی و جنایی شده است (۳).

DNA پلیمرازها که در همه‌ی ابعاد متابولیسم اسیدهای نوکلئیک از جمله همانندسازی، اصلاح و نوترکیب DNA، نقش اساسی دارند، از ضروریات این روش به حساب می‌آیند (۴). در ابتدا، جهت تکثیر DNA در واکنش PCR، از قطعه‌ی کلنو (آنزیم تعديل شده‌ای که با حذف قطعه‌ای شامل ۲۳۳ اسید آمینه از DNA پلیمراز I بакتری *E.coli* به دست می‌آید) استفاده می‌گردید. فقدان قابلیت تحمل دماهای بالا توسط این آنزیم و در نتیجه‌ی آن، غیرفعال شدن آنزیم حین مرحله‌ی دناتوره شدن و پایین بودن دمای لازم برای فعالیت این آنزیم و همچنین اتصال پرایمربا به مکان‌های غیر اختصاصی، استفاده از این آنزیم را محدود می‌ساخت (۵). در این میان، با کشف DNA پلیمرازهای مقاوم به حرارت، به دلیل داشتن ظرفیت تکثیر DNA در دماهای بالا، مشکلاتی از این دست در طول مراحل مختلف تکثیر DNA حل شد (۶).

*Taq* پلیمراز که از نوعی مایکوباکتریوم گرماید *Thermus aquaticus* به دست می‌آید، اولین DNA پلیمراز مقاوم به حرارتی بود که برای PCR معرفی شد. عیب اصلی این آنزیم، فقدان فعالیت اگزونوکلئازی<sup>۳</sup> به<sup>۵</sup> است که باعث عدم اصلاح خطاهای ناشی از فعالیت پلیمرازی آنزیم می‌شود (۷-۱۰). از دیگر پلیمرازهای مقاوم به حرارت، می‌توان به DNA پلیمراز Vent، که از *Thermococcus litoralis* جدا شده است، اشاره کرد. این آنزیم، مقاومت گرمایی بیشتری نسبت به *Taq* پلیمراز دارد و از طرفی، فعالیت اگزونوکلئازی آن ۵ الی ۱۵ برابر از *Taq* بیشتر است و سطح اطمینان

pET-15b DNA به عنوان ناقل بیانی انتخاب شد. DSMZ ژنومی باکتری Pyrococcus furiosus از آلمان خریداری شد.

### جداسازی قطعه‌ی کد کننده‌ی آنزیم از ژنوم

#### باکتری *Pyrococcus furiosus*

توالی کد کننده‌ی آنزیم Pfu پلیمراز باکتری P.furiosus از بانک اطلاعاتی NCBI استخراج گردید (Accession NO.D12983). دو آغازگر اختصاصی R-3'-TTTCATATGATTAGATGTGGATTACA و pfu-R: 5'-TAACTG-3' GAAGGACCGAATTGTAATTTTAGGAT شناسایی آنزیمهای برشی NdeI و XhoI با استفاده از نرمافزار Oligo.5 طراحی شدند.

واکنش PCR در حجم ۲۵ میکرولیتر و در محلول حاوی ۰/۲ میکروگرم از DNA ژنومی، ۱۰ پیکومول dNTP از هر کدام از آغازگرهای ۰/۲ میلی مولار از هر PCR ۲/۵ میکرولیتر از بافر (Deoxynucleotide) Pfu DNA polymerase ۱۰x و ۲ واحد از آنزیم PCR شامل یک مرحله‌ی صورت گرفت. برنامه‌ی PCR اولیه ۵ دقیقه دمای ۹۴ °C و ۳۵ سیکل متوالی (در هر سیکل ۲۰ ثانیه دمای ۴۵، ۹۴°C و ۵۸ °C و ۲/۵ دقیقه دمای ۷۲°C بود و در نهایت، برنامه با ۱۰ دقیقه دمای ۷۲°C پایان یافت. کیفیت و کمیت محصول PCR با استفاده از الکتروفورز آگاروز TAE (EDTA و Acetic acid, Tris base) ۱ درصد ارزیابی شد.

### همسان‌سازی قطعه‌ی DNA جداسازی شده در

#### pET-15b پلاسمید بیانی

محصول PCR با استفاده از کیت خالص‌سازی

با دقت (Fidelity) بالا، در این تحقیق سعی بر آن شد تا با کلون نمودن قطعه‌ی کد کننده‌ی DNA پلیمراز Pfu و بیان آن در سیستم E.coli و استخراج آن از این باکتری، زمینه برای تولید این آنزیم در آزمایشگاه فراهم گردد و به دنبال آن، آنزیم استخراج شده به عنوان جایگزینی مناسب برای انواع تجاری آن باشد. در این مطالعه، پس از کلونینگ قطعه‌ی کد کننده‌ی DNA پلیمراز Pfu در ناقل بیانی pTE-15b در ابتدا اثر هر کدام از متغیرهای غلظت ماده‌ی القاگر، دما و مدت زمان انکوباسیون روی میزان تولید پروتئین بررسی شد. سپس بعد از انتخاب بهترین شرایط بیانی، بیان پروتئین در حجم بالا انجام و پروتئین استخراج گردید. در نهایت، فعالیت پروتئین استخراج شده توسط PCR بررسی شد.

### روش‌ها

آمپسی سیلین و IPTG مصرفی در این تحقیق از شرکت Sigma تهیه شد. آنزیمهای برشی، Pfu polymerase, T<sub>4</sub> DNA ligase (Fermentase) RNase خریداری شد. مارکر وزن مولکولی پروتئین و DNA ladder نیز از شرکت فرمتوس خریداری شد. سایر مواد شیمیایی مصرفی و مواد لازم جهت تهیه محیط کشت، متعلق به شرکت Merck بود. کیت‌های استخراج پلاسمید، جداسازی DNA از ژل و کیت خالص‌سازی محصول PCR از شرکت کیاژن تهیه شدند.

در این تحقیق سویه‌ی E.coli XL1-Blue باکتری جهت همسان‌سازی و سویه‌ی BL21(DE3) باکتری E.coli به عنوان میزبان بیانی استفاده شد. ناقل

حاوی آمپی سیلین با غلظت  $100 \text{ mg/ml}$  تلقیح گردید. پس از رسیدن ضریب جذب نوری طول موج  $\text{IPTG}$   $600 \text{ nm}$  به  $0.4-0.6$ ، القا کننده  $\beta$ -D-1-thiogalactopyranoside) اضافه گردید و کشت باکتریایی به مدت ۳ ساعت دیگر در  $37^\circ\text{C}$  و دمای  $180 \text{ rpm}$  انجام گردید. سویه  $\text{BL21}(\text{DE3})$  فاقد ناقل نوترکیب نیز در همین شرایط کشت داده شد. یک میلی لیتر از هر کشت باکتریایی در لوله‌ی اپندراف رسووب داده شد و رسووب در  $1 \text{ mM}$  میلی لیتر بافر (Phosphate-buffered saline) PBS ( $1/7 \text{ mM NaCl}$ ,  $0.1 \text{ mM Na}_2\text{HPO}_4$ ,  $0.75 \text{ mM SDS-PAGE}$ ) در  $37^\circ\text{C}$  درصد و با رنگ آمیزی کوماسی بلو (Coomassie brilliant blue) انجام گردید.

#### بهینه‌سازی شرایط بیان پروتئین نوترکیب *Pfu*

به منظور بهینه‌سازی بیان پروتئین *pfu* سه عامل غلظت القا کننده، دمای انکوباسیون و مدت زمان القا، به طور جداگانه مورد بررسی قرار گرفتند. ابتدا غلظت‌های مختلف  $\text{IPTG}$  ( $1 \text{ mM}$ ,  $0.75 \text{ mM}$ ,  $0.5 \text{ mM}$  و  $0.25 \text{ mM}$ ) مورد بررسی قرار گرفت. سپس در غلظت بهینه و دمای  $37^\circ\text{C}$  مدت زمان انکوباسیون بعد از القا ( $1$ ,  $2$ ,  $3$  و  $4$  ساعت) بررسی شد. در مرحله‌ی بعد، در غلظت و زمان بهینه، دمای انکوباسیون ( $37^\circ\text{C}$ ,  $25^\circ\text{C}$ ,  $30^\circ\text{C}$  و  $37^\circ\text{C}$ ) بررسی شد.

محصول PCR شرکت کیاژن (#۲۸۷۰۴) طبق دستورالعمل کیت، خالص‌سازی و توسط دو آنزیم  $\text{NdeI}$  و  $\text{XhoI}$  به مدت ۴ ساعت در دمای  $37^\circ\text{C}$  برش داده شد. ناقل بیانی pET-15b با استفاده از کیت اسخراج پلاسمید فرمتوس (K0502) از باکتری میزبان XL1-Blue طبق دستور شرکت سازنده، استخراج گردید. واکنش هضم برای ناقل بیانی مطابق قطعه‌ی PCR انجام گردید. محصول PCR برش داده شده و ناقل هضم شده به طور جداگانه توسط کیت خالص‌سازی از ژل شرکت کیاژن (#۲۸۷۰۴) از ژل آگاروز ۱ درصد استخراج گردید.

واکنش اتصال با استفاده از  $\text{T4 DNA ligase}$  (شرکت فرمتوس) در دمای  $22^\circ\text{C}$  به مدت ۱ ساعت انجام شد. محصول فرایند اتصال، با روش شوک حرارتی به سلول‌های مستعد XL1-Blue (تهیه شده با روش شیمیایی) انتقال داده شد (۵). محصول حاوی آمپی سیلین با غلظت  $100 \text{ mg/ml}$  کشت داده و در دمای  $37^\circ\text{C}$  انکوبه شد. غربالگری کلونی‌های به دست آمده، با روش هضم آنزیمی و PCR صورت گرفت. ناقل نوترکیب (pET-Pfu)، به روش شوک E.coli حرارتی به سلول‌های مستعد باکتری سویه  $\text{BL21}(\text{DE3})$  متقل و تعدادی از کلونی‌های رشد کرده، روی محیط کشت LB حاوی آمپی سیلین برای مرحله‌ی بیان انتخاب شدند.

#### بیان پروتئین نوترکیب در میزبان بیانی

یک لوپ از هر کلونی منتخب در  $5 \text{ میلی لیتر}$  محیط LB حاوی آمپی سیلین با غلظت  $100 \text{ mg/ml}$  در دمای  $37^\circ\text{C}$  کشت شبانه گردید. کشت اولیه، با ضریب رقت  $1/100$  به  $5 \text{ میلی لیتر}$  محیط مایع جدید،

دور ۵۰۰۰ rpm جدا شدند. به فاز رویی حاصل از مرحله‌ی قبل، آمونیوم سولفات (۶۵ درصد اشبع) اضافه و به مدت ۱۵ دقیقه در دمای آزمایشگاه قرار داده شد. نمونه‌ی حاصل به مدت ۲۰ دقیقه با دور ۱۰۰۰۰ rpm سانتریفوژ شد.

رسوب ایجاد شده در جدار و ته لوله، حاوی پروتئین استخراج شده بود. رسوب در ۸ میلی‌لیتر بافر A حل شد و به مدت ۱۶ ساعت در بافر S (DTT ۱ mM, EDTA ۰/۱ mM, KCl ۵۰ mM, Glycerol ۵۰ درصد, PMSF ۰/۵ mM) ۴ °C و pH = ۷/۹ در میانی سیلین با دیالیز گردید.

### بررسی فعالیت آنزیم استخراج شده

فعالیت آنزیم استخراج شده توسط واکنش PCR و در مقایسه با نوع تجاری (Fermentas) آن بررسی گردید. بدین منظور، قطعاتی از DNA با اندازه‌های ۱۰۰، ۳۰۰، ۴۰۰ و ۵۰۰ جفت باز در PCR توسط هر دو آنزیم تجاری و تخلیص شده در دو ویال جداگانه تکثیر شدند. واکنش PCR در حجم ۱۵ میکرولیتر و در محلول حاوی ۰/۲ میکروگرم از DNA الگو، ۱۰ پیکومول از هر کدام از آغازگرهای ۰/۲ میلی‌مولار از هر dNTP ۱/۵ میکرولیتر از بافر PCR ۱۰x و ۲ واحد از آنزیم PCR polymerase Pfu DNA تجاری و تخلیص شده صورت گرفت. برنامه‌ی PCR شامل یک مرحله اولیه ۵ دقیقه دمای ۹۴ °C و ۳۵ سیکل متوالی (در هر سیکل ۲۰ ثانیه دمای ۹۴ °C، ۴۵ ثانیه دمای ۵۴ °C و ۱ دقیقه دمای ۷۲ °C) بود و در نهایت، برنامه با ۱۰ دقیقه دمای ۷۲ °C پایان یافت. محصول PCR با استفاده از الکتروفورز آگاروز ۱ درصد ارزیابی شد.

### استخراج پروتئین نوترکیب Pfu

پس از بهینه‌سازی و انتخاب بهترین شرایط بیان به کمک نتایج حاصل از تکنیک الکتروفورز SDS-PAGE، بیان پروتئین pfu در حجم بالا و در شرایط بهینه انجام شد. بدین ترتیب که یک لوب از کلونی باکتری در ۵ میلی‌لیتر محیط TB (Tubercle bacillus) حاوی آمپی سیلین با غلظت ۱۰۰ mg/ml در دمای ۳۷ °C کشت شبانه گردید. کشت اولیه با ضریب رقت ۱/۱۰۰ به ۲۵ میلی‌لیتر محیط مایع جدید حاوی آمپی سیلین با غلظت ۱۰۰ mg/ml تلچیق گردید.

پس از رسیدن ضریب جذب نوری مناسب در طول موج ۶۰۰ nm، محیط کشت با غلظت بهینه IPTG القا شد. در کنار آن، سایر متغیرهای بهینه شده نیز جهت انکوباسیون لحاظ گردید. پس از اتمام بیان rpm سلول‌های باکتری به مدت ده دقیقه و با دور ۵۰۰۰ سانتریفوژ و رسوب داده شدند. رسوب حاصل در ۲۵۰ میلی‌لیتر بافر A (EDTA ۱ mM, Tris-HCl ۵۰ mM, Dextrose ۵۰ mM) در pH = ۷/۹ و شستشو داده شد و بار دیگر رسوب داده شد.

رسوب به دست آمده، در ۵۰ میلی‌لیتر بافر A حاوی ۴ mg/ml لیزوزیم هموژن گردید و به مدت ۱۵ دقیقه در دمای آزمایشگاه قرار گرفت. در ادامه، به همان حجم بافر B (KCl ۵۰ mM, Tween ۲۰ ۰/۵ درصد, EDTA ۰/۵ mM, PMSF ۱ mM, Nonidet P۴۰ و pH = ۷/۹) به سوسپانسیون قبل اضافه شد و به بن ماری ۷۵ °C به مدت ۱ ساعت منتقل گردید. بعد از گذشت ۱ ساعت، باقی‌مانده‌ی سلولی و پروتئین‌های دناتوره شده توسط سانتریفوژ به مدت ۱۵ دقیقه با

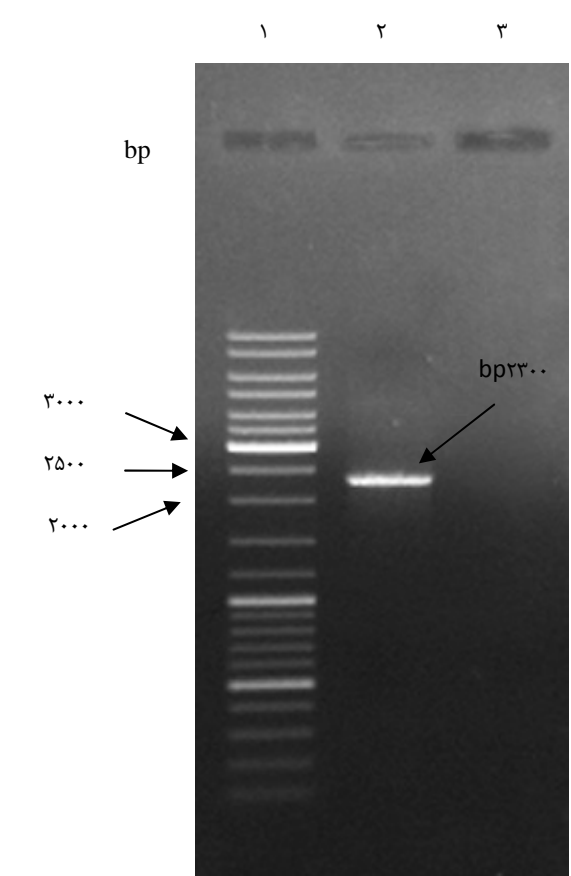
در مرحله‌ی بعد، ناقل pET-15b استخراج شده با استفاده از دو آنزیم برشی NdeI و XhoI به طور کامل هضم گردید. به منظور افزایش راندمان، واکنش اتصال قطعه به ناقل برش یافته، ناقل برش یافته با دو آنزیم از ژل آگاروز ۱ درصد جداسازی و خالص گردید. از طرفی، محصول PCR نیز پس از برش با همان دو آنزیم، خالص‌سازی گردید. پس از انجام واکنش اتصال و انتقال ناقل‌های نوترکیب به باکتری E.coli سویه‌ی XL1-Blue، صحت اندازه‌ی قطعه‌ی همسان‌سازی شده در باکتری‌های تاریخنخته با استفاده از روش هضم آنزیمی ناقل نوترکیب، توسط آنزیم‌های XhoI و NdeI تأیید گردید.

هضم آنزیمی با ۲ آنزیم ذکر شده، دو قطعه در حدود ۲۳۰۰ bp و ۵۷۰۰ bp را نشان داد که به ترتیب مربوط به توالی کد کننده‌ی آنزیم *pflu* پلیمراز و ناقل pET-15b می‌باشد (شکل ۲). ناقل نوترکیب پس از تأیید اندازه‌ی قطعه‌ی همسان شد و به سویه‌ی بیانی LB21 (DE<sup>3</sup>) متقل شد. نتایج حاصل از آنالیز بیان با تکنیک SDS-PAGE در مقایسه با نمونه‌ی شاهد (باکتری فاقد ناقل نوترکیب) وجود نوار پروتئینی در حدود ۹۰ kDa را نشان داد که به درستی با اندازه‌ی پیش‌بینی شده‌ی پروتئین مورد نظر (۹۲ کیلو دالتون) مطابقت داشت.

در مرحله‌ی بعد، جهت بهینه‌سازی میزان تولید پروتئین نوترکیب، سه عامل غلظت القا کننده، دمای انکوباسیون و مدت زمان القا بررسی شد. بیشترین میزان تولید پروتئین در غلظت ۰/۷۵ میلی‌مولار ماده‌ی القا کننده‌ی IPTG، دمای ۳۷ °C و ۳ ساعت پس از القا مشاهده شد (شکل‌های ۳، ۴ و ۵). بیان در حجم بالا و با لحاظ کردن کلیه‌ی شرایط بهینه شده انجام شد.

## یافته‌ها

قطعه‌ی کد کننده‌ی آنزیم *pflu* پلیمراز با استفاده از آغازگرهای رفت و برگشت اختصاصی pflu-F و pflu-R از DNA ژنومی باکتری تکثیر گردید. جایگاه‌های برشی NdeI و XhoI به نحوی در آغازگرهای تعییه شدند که توالی کد کننده، در چهارچوب خواندن صحیح ناقل pET-15b قرار گیرد. قطعه‌ی تکثیر شده، بر روی ژل آگاروز ۱ درصد، الکتروفورز گردید و باند مورد نظر به طول حدود ۲۳۰۰ bp مشاهده شد (شکل ۱).



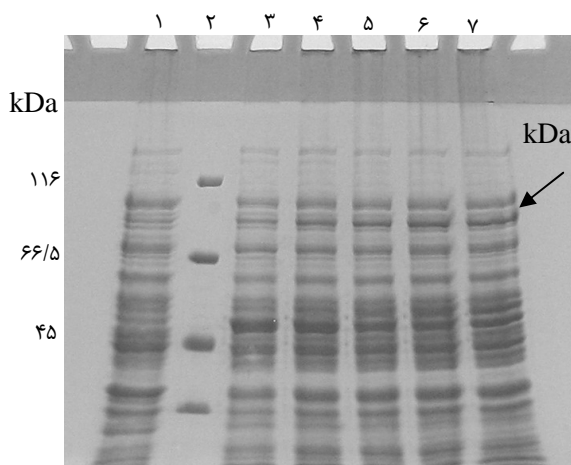
شکل ۱. ارزیابی محصول PCR (Polymerase chain reaction)

Gene Ruler DNA Ladder Mix (۱

PCR)، (۲) محصول Fermentas #SM0332

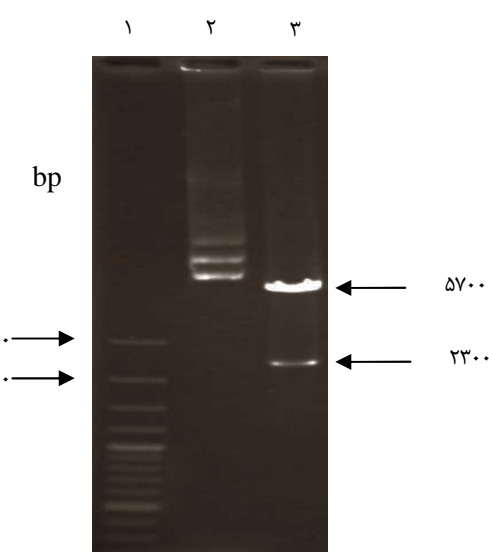
(۳) کنترل منفی PCR (نمونه‌ی فاقد الگو)

پروتئین pfu تولید و استخراج گردید. حاصل استخراج در ژل الکتروفورز SDS-PAGE وجود نوار پروتئینی در حدود ۹۰ kDa را نشان داد که به درستی با اندازه‌ی پیش‌بینی شده‌ی پروتئین مورد نظر (۹۲ کیلو دالتون) مطابقت داشت (شکل ۶). آنزیم استخراج شده در واکنش PCR استفاده و با نوع تجاری آن مقایسه شد. نتیجه‌ی حاصل از الکتروفورز ژل آگاروز، نشان داد که آنزیم تخلیص شده توانست DNAهای الگو را به طور مشابه با نمونه‌ی تجاری تکثیر نماید (شکل ۷).



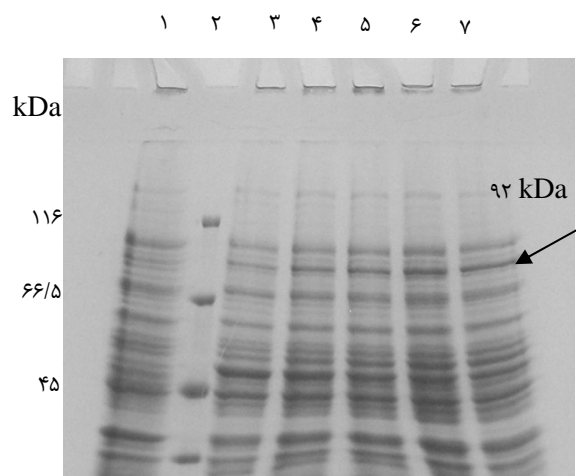
شکل ۴. بررسی تأثیر زمان بر میزان پروتئین تولید شده

- (۱) عناوん نمونه‌ی فاقد پلاسمید نوترکیب BL<sub>21</sub>(DE<sup>3</sup>) (به عنوان نمونه‌ی کنترل منفی باکتری)، (۲) مارکر وزن مولکولی پروتئین (Fermentas#SM<sub>0431</sub>) (نمونه‌ی القا نشده)
- (۳) BL<sub>21</sub>(DE<sup>3</sup>) حاوی پلاسمید نوترکیب، به عنوان نمونه‌ی دارای پلاسمید و کنترل منفی نبود ماده‌ی القا کننده، (۴) نمونه‌ی القا شده BL<sub>21</sub>(DE<sup>3</sup>) حاوی پلاسمید نوترکیب [با غلظت ۰/۷۵ mM]
- (۵) IPTG ۱ ساعت پس از القا، (۶) نمونه‌ی القا شده BL<sub>21</sub>(DE<sup>3</sup>) حاوی پلاسمید نوترکیب [با غلظت ۰/۷۵ mM]
- (۷) IPTG ۲ ساعت پس از القا، (۸) نمونه‌ی القا شده BL<sub>21</sub>(DE<sup>3</sup>) حاوی پلاسمید نوترکیب [با غلظت ۰/۷۵ mM]
- (۹) IPTG ۳ ساعت پس از القا، (۱۰) نمونه‌ی القا شده BL<sub>21</sub>(DE<sup>3</sup>) حاوی پلاسمید نوترکیب [با غلظت ۰/۷۵ mM]
- (۱۱) IPTG ۴ ساعت پس از القا



شکل ۲. هضم آنزیمی پلاسمید نوترکیب با دو آنزیم XhoI و NdeI

- (۱) Gene Ruler Ladder Mix (Fermentas# SM<sub>0321</sub>)
- (۲) pET-15b-Pfu (Fermentas# SM<sub>0431</sub>)
- (۳) محصول برش pET-15b-Pfu با دو آنزیم XhoI و NdeI

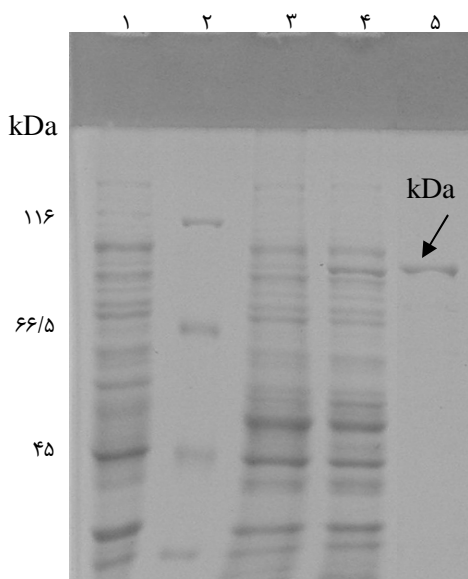


شکل ۳. بررسی تأثیر غلظت IPTG بر میزان پروتئین تولید شده

- (۱) عناوん نمونه‌ی فاقد پلاسمید نوترکیب BL<sub>21</sub>(DE<sup>3</sup>) (به عنوان نمونه‌ی کنترل منفی باکتری)، (۲) مارکر وزن مولکولی پروتئین (Fermentas#SM<sub>0431</sub>) (نمونه‌ی القا نشده)
- (۳) BL<sub>21</sub>(DE<sup>3</sup>) حاوی پلاسمید نوترکیب، به عنوان نمونه‌ی دارای پلاسمید و کنترل منفی نبود ماده‌ی القا کننده، (۴) نمونه‌ی القا شده BL<sub>21</sub>(DE<sup>3</sup>) حاوی پلاسمید نوترکیب [با IPTG ۰/۰۲۵ mM]
- (۵) نمونه‌ی القا شده [BL<sub>21</sub>(DE<sup>3</sup>) حاوی پلاسمید نوترکیب] با IPTG ۰/۰۵ mM
- (۶) نمونه‌ی القا شده [BL<sub>21</sub>(DE<sup>3</sup>) حاوی پلاسمید نوترکیب] با IPTG ۰/۰۷۵ mM
- (۷) نمونه‌ی القا شده [BL<sub>21</sub>(DE<sup>3</sup>) حاوی پلاسمید نوترکیب] با IPTG ۱ mM

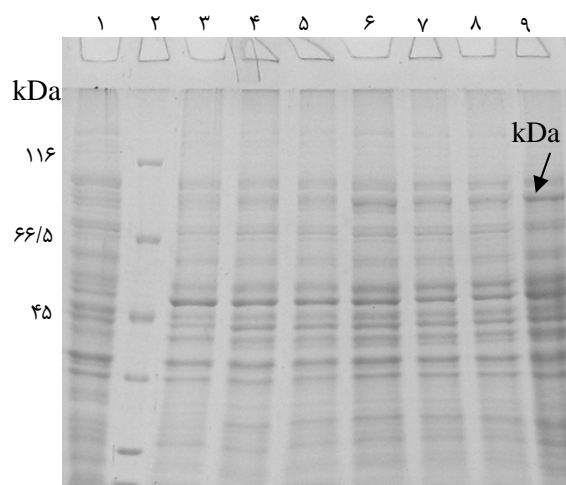
شرایط ویژه‌ای از قبیل دمای بالا، محیط بی‌هوایی و گوگرد زیاد رشد می‌کند، تولید پروتئین‌های داخلی این میکرووارگانیسم مثل DNA پلیمراز در سیستم‌های بیانی دیگر از استخراج مستقیم این پروتئین از خود میکرووارگانیسم به صرفه‌تر است (۲۰-۲۱).

در میان انواع میزبان‌های بیانی مختلف اعم از پرکاریوت و یوکاریوت، سیستم‌های باکتریایی به علت رشد سریع و مقرر به صرفه بودن، بیشتر مورد استفاده قرار می‌گیرند (۲۲). از میان گونه‌های مختلف باکتریایی، باکتری *E.coli* به دلیل ژنتیک شناخته شده، ایجاد غلط‌های بالای پروتئین، وجود سویه‌های فراوان و ناقل‌های مختلف در کلونینگ و بیان، اولویت اول را دارد (۲۳).



شکل ۶. تخلیص پروتئین بیان شده

(۱) **BL21(DE3)** (به عنوان نمونه‌ی فاقد پلاسمید نوترکیب و کنترل منفی باکتری)، (۲) مارکر وزن مولکولی پروتئین **BL21(DE3)**، (۳) نمونه‌ی القا شده **Fermentas#SM0431** حاوی پلاسمید نوترکیب، به عنوان نمونه‌ی دارای پلاسمید و کنترل منفی بود ماده‌ی القا کننده، (۴) نمونه‌ی القا شده **BL21(DE3)** حاوی پلاسمید نوترکیب [با غلظت ۰/۷۵ میلی‌مولار **IPTG** ۳ ساعت پس از القا ( $25^{\circ}\text{C}$ )، (۵) نمونه‌ی القا شده [با غلظت **BL21(DE3)** حاوی پلاسمید نوترکیب] با غلظت ۰/۷۵ میلی‌مولار **IPTG** ۳ ساعت پس از القا ( $30^{\circ}\text{C}$ )، (۶) نمونه‌ی القا شده [با غلظت **BL21(DE3)** حاوی پلاسمید نوترکیب] با غلظت ۰/۷۵ میلی‌مولار **IPTG** ۳ ساعت پس از القا ( $37^{\circ}\text{C}$ )، (۷) نمونه‌ی القا شده [با غلظت **BL21(DE3)** حاوی پلاسمید نوترکیب] با غلظت ۰/۷۵ میلی‌مولار **IPTG** ۱۶ ساعت پس از القا ( $25^{\circ}\text{C}$ )، (۸) نمونه‌ی القا شده [با غلظت **BL21(DE3)** حاوی پلاسمید نوترکیب] با غلظت ۰/۷۵ میلی‌مولار **IPTG** ۱۶ ساعت پس از القا ( $30^{\circ}\text{C}$ )، (۹) نمونه‌ی القا شده [با غلظت **BL21(DE3)** حاوی پلاسمید نوترکیب] با غلظت ۰/۷۵ میلی‌مولار **IPTG** ۱۶ ساعت پس از القا ( $37^{\circ}\text{C}$ )، (۱۰) حاصل تخلیص ساعت پس از القا ( $37^{\circ}\text{C}$ )



شکل ۵. بررسی تأثیر دما بر میزان پروتئین تولید شده

- (۱) **BL21(DE3)** (به عنوان نمونه‌ی فاقد پلاسمید نوترکیب و کنترل منفی باکتری)، (۲) مارکر وزن مولکولی پروتئین **Fermentas#SM0431** (۳) نمونه‌ی القا شده **BL21(DE3)** حاوی پلاسمید نوترکیب، به عنوان نمونه‌ی دارای پلاسمید و کنترل منفی بود ماده‌ی القا کننده، (۴) نمونه‌ی القا شده [با غلظت **BL21(DE3)** حاوی پلاسمید نوترکیب] با غلظت ۰/۷۵ میلی‌مولار **IPTG** ۳ ساعت پس از القا ( $25^{\circ}\text{C}$ )، (۵) نمونه‌ی القا شده [با غلظت **BL21(DE3)** حاوی پلاسمید نوترکیب] با غلظت ۰/۷۵ میلی‌مولار **IPTG** ۳ ساعت پس از القا ( $30^{\circ}\text{C}$ )، (۶) نمونه‌ی القا شده [با غلظت **BL21(DE3)** حاوی پلاسمید نوترکیب] با غلظت ۰/۷۵ میلی‌مولار **IPTG** ۳ ساعت پس از القا ( $37^{\circ}\text{C}$ )، (۷) نمونه‌ی القا شده [با غلظت **BL21(DE3)** حاوی پلاسمید نوترکیب] با غلظت ۰/۷۵ میلی‌مولار **IPTG** ۱۶ ساعت پس از القا ( $25^{\circ}\text{C}$ )، (۸) نمونه‌ی القا شده [با غلظت **BL21(DE3)** حاوی پلاسمید نوترکیب] با غلظت ۰/۷۵ میلی‌مولار **IPTG** ۱۶ ساعت پس از القا ( $30^{\circ}\text{C}$ )، (۹) نمونه‌ی القا شده [با غلظت **BL21(DE3)** حاوی پلاسمید نوترکیب] با غلظت ۰/۷۵ میلی‌مولار **IPTG** ۱۶ ساعت پس از القا ( $37^{\circ}\text{C}$ )، (۱۰) حاصل تخلیص ساعت پس از القا ( $37^{\circ}\text{C}$ )

## بحث

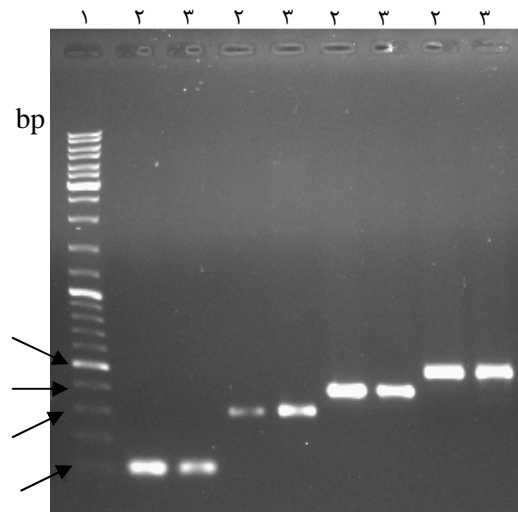
با توجه به این که در اکثر موارد، ویژگی‌های ساختاری و فعالیت پروتئین‌های نوترکیب، مشابه انواع طبیعی آنها است، تولید پروتئین با کمک تکنولوژی DNA نوترکیب، کاری مقرر به صرفه است (۱۹). در خصوص باکتری *P.furiosus* که در

می باشد، یک سیستم قوی جهت کلونینگ و بیان ژن است (۲۷). باکتری BL21(DE3) نیز میزان ترا ریخته ای است که در ژنوم آن قطعه ای محتوی توالی کد کننده RNA پلیمراز T7 تحت کنترل راه انداز و تنظیم کننده Lac UV5 قرار داده شده است (۲۸).

در این مطالعه، به منظور بهینه سازی بیان پروتئین نوترکیب DNA پلیمراز *Pfu* چندین متغیر از مجموعه عوامل مؤثر بر میزان تولید پروتئین تغییر داده شد و در بررسی هر عامل، نتایج حاصل در ارزیابی عامل دیگر نیز در نظر گرفته شد.

اولین متغیر، غلظت ماده ای القاگر بود. حضور القا کننده ها در محیط و غلظت آنها تأثیر غیر قابل انکاری بر میزان تولید پروتئین دارد. در این مطالعه، با افزایش غلظت IPTG از ۰/۲۵ mM تا ۰/۷۵ mM میزان بیان افزایش داشت. غلظت های بالاتر به افزایش بیان منجر نشدند و علت این امر، می تواند ناشی از القا و اشباع شدن پروموتورهای ناقل باشد.

در خصوص دو عامل مدت زمان القا و دمای رشد، شرایط بهینه در ۳ ساعت انکوباسیون بعد از القا در دمای ۳۷ °C انتخاب گردید. در دماهای ۲۵ °C و ۳۰ °C با گذشت ۳ ساعت میزان رشد کم و بیان به صورت محسوس مشاهده نشد؛ در صورتی که در نمونه هایی که در این دو دما کشت شبانه (Over night) شدند، هم میزان رشد افزایش یافت و هم بیان مشاهده شد. بیان به صورت طولانی مدت و شبانه در ۳۷ °C نتایجی مشابه با بیان به مدت ۳ ساعت در ۳۷ °C را داشت. باید به این نکته توجه داشت که در صورت ادامه ای زمان کشت باکتری ها در ۳۷ °C، میزان وزن سلولی افزایش می یابد؛ اما به دلیل این که باکتری ها



شکل ۷. آزمایش فعالیت

#### Gene ruler DNA ladder mix (۱)

(Fermentas#SM.۰۳۳۲) (۲) محصول PCR با آنزیم تجاری،  
(۳) محصول PCR با آنزیم استخراج شده

در یکی از مطالعات قبلی ژن کد کننده ای این آنزیم در سیستم باکولوویروس کلون و پلیمراز حاصل از محیط کشت حشره جدا گردیده است (۱۷). مزیت سلول حشره بر *E.coli* دارا بودن سیستم های آنزیمی لازم جهت انجام اصلاحات پس از ترجمه روی پروتئین تولید شده می باشد؛ اما استفاده از این سیستم، به جهت گران قیمت بودن مقرنون به صرفه نیست (۲۴). عوامل مختلفی از قبیل پلاسمید حاوی ژن کد کننده ای پروتئین، قدرت پرموتور نسخه برداری، غلظت ماده ای القا کننده، مدت زمان تولید یک انکوباسیون و نوع محیط کشت، در میزان تولید یک پروتئین نوترکیب اثر گذارند. با تغییر در این شرایط، می توان میزان تولید پروتئین نوترکیب را تغییر داد (۲۵-۲۶).

ناقل بیانی pET-15b استفاده شده در این مطالعه، با دارا بودن راه انداز (Promoter) بسیار قوی T7 و تنظیم کننده Lac (Operator) که قابل القا با

صرفه است. يكى از مهمترین مراحل خالص‌سازی پروتئين، ليز سلول‌های هدف است. در ميان روش‌های مختلف ليز سلولی، استفاده از ليزوزیم (лиз آنزیمی) دناتوراسیون پروتئین‌ها را به حداقل می‌رساند (۳۲-۳۳).

به دليل پايداری حرارتی آنزیم *Pfu*، می‌توان با انکوباسیون نمونه در دماي  $75^{\circ}\text{C}$  سایر پروتئین‌های مداخله کننده *E.coli* را دناتوره کرد. استفاده از نمک آمونیوم سولفات در غلظت‌های بالا، مولکول‌های آب را از دسترس پروتئین خارج می‌نماید. اين امر، موجب کاهش حلالیت پروتئین و در نتیجه رسوب آن می‌شود. اساس اين روش *Salting out* می‌باشد (۳۳). در آخرین مرحله استخراج جهت حذف نمک و ناخالصی‌ها از ديليز استفاده می‌شود. در نهايیت، اين مطالعه امكان تولید يك DNA پلیمراز مقاوم به حرارت و با دقت بالا را توسط روشی ارزان و مقرون به صرفه فراهم نمود. DNA پلیمراز تخلیص شده، فعالیتی مشابه با نمونه تجاری داشت.

### تشکر و قدردانی

هزينه‌ی اجرای اين پژوهش توسط دانشگاه علوم پزشكى اصفهان تأمین گردید. بدین وسile از حمایت مالی معاونت تحقیقات و فن‌آوري دانشگاه علوم پزشكى اصفهان در انجام اين طرح پژوهشی قدردانی می‌شود.

كم کم فاز ثابت (Stationary phase) خود را پشت سر می‌گذارند و به فاز مرگ (Death phase) نزديك می‌شوند، جهت بيان‌های طولاني مدت و به صورت شبانيه (Over night) دماهای پايان‌تر از قبيل  $25^{\circ}\text{C}$  و  $30^{\circ}$  توصيه می‌شود که در اين حالت، ميزان ليز سلولی و اثر پروتئازها افزایش می‌يابد و در پی آن، مقدار زیادی از پروتئین‌های درون سلولی در مرحله‌ی سانتريفوژ در حین مراحل استخراج به دليل ليز باكتري و خروج از سلول از بين می‌روند. استفاده از کلوني‌های تازه ترانسفورم شده، تأثير بسياري در افزایش ميزان پروتئين دارد؛ به طوری که مقدار پروتئين توليد شده از يك کشت ثانويه نسبت به حالتی که از کشت تازه ترانسفورم شده استفاده شود، كمتر است (۲۹، ۵). در طي اين پژوهش نيز به طور تجربى مشاهده شد که ميزان پروتئين توليد شده به هنگام استفاده از سلول‌های تازه ترانسفورم شده، نسبت به حالتی که از استوک فريز شده استفاده می‌شود، بيشتر است.

در اين پژوهش، ضمن ايجاد شرایط بهينه برای توليد آنزیم *Pfu*، روشی ساده (بر مبنای روش Desai) جهت استخراج اين پروتئين به کار گرفته شد (۳۰). در سایر مطالعات قبلی، جهت تخلیص آنزیم *Pfu* از ستون‌های خالص‌سازی مختلف استفاده شده است (۳۱، ۱۸، ۱۳). با اين وجود، روش Desai به دليل سادگی و نداشتن مکانيسم و وسائل پيچide از جمله ستون‌های خالص‌سازی، ارزان قيمت و مقرن به

### References

- Arezi B, Xing W, Sorge JA, Hogrefe HH. Amplification efficiency of thermostable DNA polymerases. *Anal Biochem* 2003; 321(2): 226-35.
- Haki GD, Rakshit SK. Developments in industrially important thermostable enzymes: a review. *Bioresour Technol* 2003; 89(1): 17-34.
- Shekatkar S, Harish BN, Parija SC. Diagnosis

- of Leptospirosis by Polymerase. Chain Reaction. International Journal of Pharma and Bio Sciences 2010; 1(3): 1-6.
4. Hashimoto H, Nishioka M, Fujiwara S, Takagi M, Imanaka T, Inoue T, et al. Crystal structure of DNA polymerase from hyperthermophilic archaeon *Pyrococcus kodakaraensis* KOD1. *J Mol Biol* 2001; 306(3): 469-77.
  5. Sambrook J, Russell DW. Molecular Cloning: A Laboratory Manual. New York, NY: Cold Spring Harbor laboratory Press; 2001.
  6. Kim DJ, Jang HJ, Pyun YR, Kim YS. Cloning, expression, and characterization of thermostable DNA polymerase from *Thermoanaerobacter yonseiensis*. *J Biochem Mol Biol* 2002; 35(3): 320-9.
  7. Wang Y, Prosen DE, Mei L, Sullivan JC, Finney M, Vander Horn PB. A novel strategy to engineer DNA polymerases for enhanced processivity and improved performance in vitro. *Nucleic Acids Res* 2004; 32(3): 1197-207.
  8. Dietrich J, Schmitt P, Zieger M, Preve B, Rolland JL, Chaabihi H, et al. PCR performance of the highly thermostable proof-reading B-type DNA polymerase from *Pyrococcus abyssi*. *FEMS Microbiol Lett* 2002; 217(1): 89-94.
  9. Korolev S, Nayal M, Barnes WM, Cera ED, Waksman G. Crystal structure of the large fragment of *Thermus aquaticus* DNA polymerase I at 2.5-A resolution: structural basis for thermostability. *Proc Natl Acad Sci U S A* 1995; 92(20): 9264-8.
  10. Ho DL, Byrnes WM, Ma WP, Shi Y, Callaway DJ, Bu Z. Structure-specific DNA-induced conformational changes in Taq polymerase revealed by small angle neutron scattering. *J Biol Chem* 2004; 279(37): 39146-54.
  11. McPherson MJ, McPherson SG. PCR. 1st ed. Philadelphia, PA: Taylor & Francis; 2000.
  12. Lawyer FC, Stoffel S, Saiki RK, Myambo K, Drummond R, Gelfand DH. Isolation, characterization, and expression in *Escherichia coli* of the DNA polymerase gene from *Thermus aquaticus*. *J Biol Chem* 1989; 264(11): 6427-37.
  13. Kim SW, Kim DU, Kim JK, Kang LW, Cho HS. Crystal structure of Pfu, the high fidelity DNA polymerase from *Pyrococcus furiosus*. *Int J Biol Macromol* 2008; 42(4): 356-61.
  14. Lundberg KS, Shoemaker DD, Adams MW, Short JM, Sorge JA, Mathur EJ. High-fidelity amplification using a thermostable DNA polymerase isolated from *Pyrococcus furiosus*. *Gene* 1991; 108(1): 1-6.
  15. Griffiths K, Nayak S, Park K, Mandelman D, Modrell B, Lee J, et al. New high fidelity polymerases from *Thermococcus* species. *Protein Expr Purif* 2007; 52(1): 19-30.
  16. Cline J, Braman JC, Hogrefe HH. PCR fidelity of *pfu* DNA polymerase and other thermostable DNA polymerases. *Nucleic Acids Res* 1996; 24(18): 3546-51.
  17. Mroczkowski BS, Huvar A, Lernhardt W, Misono K, Nielson K, Scott B. Secretion of thermostable DNA polymerase using a novel baculovirus vector. *J Biol Chem* 1994; 269(18): 13522-8.
  18. Lu C, Erickson HP. Expression in *Escherichia coli* of the thermostable DNA polymerase from *Pyrococcus furiosus*. *Protein Expr Purif* 1997; 11(2): 179-84.
  19. Turner P, Mamo G, Karlsson EN. Potential and utilization of thermophiles and thermostable enzymes in biorefining. *Microb Cell Fact* 2007; 6: 9.
  20. Komori K, Ishino Y. Functional interdependence of DNA polymerizing and 3'->5' exonuclease activities in *Pyrococcus furiosus* DNA polymerase I. *Protein Eng* 2000; 13(1): 41-7.
  21. Schut GJ, Brehm SD, Datta S, Adams MW. Whole-genome DNA microarray analysis of a hyperthermophile and an archaeon: *Pyrococcus furiosus* grown on carbohydrates or peptides. *J Bacteriol* 2003; 185(13): 3935-47.
  22. Terpe K. Overview of bacterial expression systems for heterologous protein production: from molecular and biochemical fundamentals to commercial systems. *Appl Microbiol Biotechnol* 2006; 72(2): 211-22.
  23. Baneyx F. Recombinant protein expression in *Escherichia coli*. *Curr Opin Biotechnol* 1999; 10(5): 411-21.
  24. Kost TA, Condreay JP, Jarvis DL. Baculovirus as versatile vectors for protein expression in insect and mammalian cells. *Nat Biotechnol* 2005; 23(5): 567-75.
  25. Sorensen HP, Mortensen KK. Advanced genetic strategies for recombinant protein expression in *Escherichia coli*. *J Biotechnol* 2005; 115(2): 113-28.
  26. Schumann W, Ferreira LCS. Production of recombinant proteins in *Escherichia coli*. *Genet Mol Biol* 2004; 27(3): 442-53.
  27. Kilikian BV, Suárez ID, Liria CW, Gombert AK. Process strategies to improve heterologous protein production in *Escherichia coli* under lactose or IPTG induction. *Process Biochemistry* 2000; 35(9): 1019-25.
  28. Makino T, Skretas G, Georgiou G. Strain engineering for improved expression of recombinant proteins in bacteria. *Microb Cell Fact* 2011; 10: 32.
  29. Pan SH, Malcolm BA. Reduced background expression and improved plasmid stability with

- pET vectors in BL21 (DE3). *Biotechniques* 2000; 29(6): 1234-8.
- 30.** Desai UJ, Pfaffle PK. Single-step purification of a thermostable DNA polymerase expressed in *Escherichia coli*. *Biotechniques* 1995; 19(5): 780-2, 784.
- 31.** Dabrowski S, Kur J. Cloning and expression in *Escherichia coli* of the recombinant his-tagged DNA polymerases from *Pyrococcus furiosus* and *Pyrococcus woesei*. *Protein Expr Purif* 1998; 14(1): 131-8.
- 32.** Kim Y, Babnigg G, Jedrzejczak R, Eschenfeldt WH, Li H, Maltseva N, et al. High-throughput protein purification and quality assessment for crystallization. *Methods* 2011; 55(1): 12-28.
- 33.** Cutler P. *Protein Purification Protocols*. New Mexico, US: Springer; 2004.

## Expression and Purification of *Pfu* DNA Polymerase Belonging to the B Family Polymerase

Zahra Khalili-Boroujeni<sup>1</sup>, Daryoush Abedi PhD<sup>2</sup>, Mahdi Abbasian Msc<sup>3</sup>,  
Mohammad-Reza Mofid PhD<sup>4</sup>

### Original Article

#### Abstract

**Background:** DNA polymerases are enzymes directing the synthesis of DNA molecules from deoxyribonucleotides. They are essential tools for molecular biology. *Pfu* DNA polymerase was initially isolated from *Pyrococcus furiosus*, anaerobic hyperthermophilic archaeon lived in geothermally heated marine sediments with temperatures between 90°C and 100°C. This enzyme possesses 3' to 5' exonuclease activity; so that makes correcting the errors made in DNA replication.

**Methods:** In this research, the DNA fragment encoding *Pfu* DNA polymerase was cloned in to pET-15b expression vector. Then, by changing expression conditions such as isopropyl β-D-1-thiogalactopyranoside (IPTG) concentration, and time and temperature of the induction, the expression of this enzyme was optimized. Finally, *Pfu* DNA polymerase was produced in large scale in optimized conditions and purified with simple method. Then, purified enzyme was used in polymerase chain reaction (PCR) for evaluating the activity.

**Findings:** Transformation of recombinant vector produced some colonies that most of them have the plasmid. The expression of *Pfu* DNA polymerase resulted in a band approximately 90 kDa in sodium dodecyl sulfate polyacrylamide gel electrophoresis (SDS-PAGE). Maximum amount of protein production was observed in IPTG concentration of 0.75 mM, at 37°C, 3 hours incubation.

**Conclusion:** Protein purification with using the method based on Desai protocol caused a product that had the activity like commercial one in PCR reaction.

**Keywords:** DNA-dependent DNA polymerase, Polymerase chain reaction (PCR), Cloning, pET-15b

**Citation:** Khalili-Boroujeni Z, Abedi D, Abbasian M, Mofid MR. Expression and Purification of *Pfu* DNA Polymerase Belonging to the B Family Polymerase. J Isfahan Med Sch 2013; 31(251): 1392-404

\* This paper is derived from a Pharm D thesis No. 389369 in Isfahan University of Medical Sciences.

1- PharmD Student, School of Pharmacy and Pharmaceutical Sciences AND Student Research Committee, Isfahan University of Medical Sciences, Isfahan, Iran

2- Associate Professor, Department of Biotechnology, School of Pharmacy and Pharmaceutical Sciences, Isfahan University of Medical Sciences, Isfahan, Iran

3- Department of Agricultural Biotechnology, School of Agriculture, Isfahan University of Technology, Isfahan, Iran

4- Assistant Professor, Department of Biochemistry AND Bioinformatics Research Center, School of Pharmacy and Pharmaceutical Sciences, Isfahan University of Medical Sciences, Isfahan, Iran

**Corresponding Author:** Mohammad-Reza Mofid PhD, Email: mofid@pharm.mui.ac.ir